

# بررسی اثر افزودنی $Cr_2O_3$ بر خواص فیزیکی و مکانیکی جرم‌های ریختنی حاوی اسپینل

سمیرا بیگلر<sup>\*</sup>، علی نعمتی<sup>۲</sup>، حسین سرپولکی<sup>۳</sup> و علیرضا سوری<sup>۴</sup>

۱- کارشناسی ارشد، دانشگاه آزاد اسلامی، واحد علوم و تحقیقات تهران، دانشکده مهندسی مواد، تهران، ایران

۲- دانشیار، دانشگاه صنعتی شریف، دانشکده مهندسی و علم مواد، تهران، ایران

۳- دانشیار، دانشگاه علم و صنعت، دانشکده مهندسی مواد و متالورژی، تهران، ایران

۴- مریم، دانشگاه ملایر، دانشکده فنی و مهندسی، ملایر، ایران

\* biglar\_s@yahoo.com -۱

(تاریخ دریافت: ۱۶/۰۳/۱۳۹۰، تاریخ پذیرش: ۰۵/۰۵/۱۳۹۰)

## چکیده:

در این مقاله واکنش  $Cr_2O_3$ ,  $MgO$ ,  $Al_2O_3$  جهت اسپینل سازی در سیستم سه تابی مورد بررسی قرار گرفت. در صدهای مختلفی از  $Cr_2O_3$  (۱۰٪ و ۲۰٪) بر خواص و ریز ساختار جرم‌های دیرگداز اسپینلی ULCC مطالعه و بررسی گردید. در این بررسی تشکیل اسپینل و اثر مقدار افزودنی  $Cr_2O_3$  توسط آنالیز پرتو ایکس (XRD) و میکروسکوپ الکترونی روبشی (SEM) در دماهای ۱۱۰ و ۱۴۰۰ و ۱۶۰۰ درجه سانتیگراد بر خواص و ریز ساختار جرم‌های دیرگداز اسپینلی تحت بررسی قرار گرفته است. نتایج آنالیز فازی نشان می‌دهد که استفاده از مقادیر کم  $Cr_2O_3$  منجر به انحلال کامل کرومیا در آلمینیا شده (Encapsulation) به گونه‌ای که به طور کامل جذب شده و به صورت آزاد وجود ندارد. از نظر فازی  $Cr^{+3}$  وارد شبکه اسپینل شده و جانشین یونهای  $Al^{+3}$  شده و  $Cr_2O_3$  با  $Al_2O_3$  با تشکیل محلول جامد می‌دهد. در نتیجه حضور کرومیا، فرایند تشکیل اسپینل را تسریع و موجب افزایش انتقال جرم و تراکم خواهد شد.

## واژه‌های کلیدی:

جرائم دیرگداز- اسپینل- درجا- جرم فوق العاده کم سیم

مقاومت شیمیایی بالا است. کاربرد آن معمولاً در آسترپاتیل‌های فولادی و در نواحی عمق، دیواره و مناطق گذار پاتیل‌های فولادی است و همین‌طور در کوره‌های چرخشی سیمان به عنوان سوخت و در ژنراتورهای کوره تانک شیشه و غیره استفاده می‌شود [۱]. سیستم  $MgO$ - $Al_2O_3$  در سال ۱۹۱۶ به وجود آمد،

## ۱- مقدمه

اسپینل آلمینات منیزیم (MA) یک ماده دیرگداز بالقوه است و دارای خواص مکانیکی دما بالا، خواص حرارتی و شیمیایی بالایی است. اسپینل آلمینات منیزیم به طور وسیع در جرم‌های دیرگداز با کارآیی بالا استفاده می‌شود زیرا یکی از خواص آن

زینتر واکنشی و سنتر شده را بررسی کردند و همینطور تانگ شنگا<sup>۱</sup> و همکارانش [۶]، تراکم پذیری موضعی ناشی از جایگزینی یون‌های کروم و آهن در کریستال منیزیم را مشاهده کردند. در تحقیق حاضر، با افزایش مقدار  $\text{Cr}_2\text{O}_3$ ، اسپینل غنی از کروم می‌شود و پیوند دیفوژیونی مستقیم بین آنها محکم تر می‌شود. در حالیکه تشکیل کروم در شبکه اسپینل به افزایش سرعت سخت شدن یعنی تماس مستقیم بین کریستال‌ها کمک می‌کند. وارد ساختار اسپینل به صورت محلول جامد می‌شود و  $\text{Cr}_2\text{O}_3$  فرایند تشکیل اسپینل را افزایش می‌دهد. کریستال‌های اسپینل با افزایش دانسیته به صورت پیوند مستقیم اسپینل – اسپینل باعث افزایش استحکام می‌شوند.

## ۲-روش تحقیق:

در پژوهش حاضر از منیزیای ددبرن شده، آلومینای فعال شده، آلومینای تبolar، میکروسیلیس، سیمان سکار ۷۱، کرومیا و Castament fs20 استفاده شد و آنالیز شیمیایی آنها در جدول (۱) آمده است. در این نمونه‌ها از ۵ درصد وزنی آلومینای فعال شده با اندازه دانه ۲۱۱، ۸۵ درصد آلومینای تبolar با دانه بندی‌های مختلف mm ۰/۰۴۵ و ۰/۰۲ و ۰/۰۵ و ۰/۰۱ و ۰/۰۵ و ۰/۰۱ و ۰/۰۵ و میکروسیلیس با اندازه دانه ۱۵۲ و روانساز از نوع Castament FS 20 و سیمان کلسیم آلومینایی از نوع سکار ۷۱ و کرومیا با اندازه دانه ۲۰ و در مقادیر ۱ و ۲ و ۳ درصد وزنی استفاده شد.

در جدول (۲) مشخصات نمونه‌های آماده شده آمده است. بعد از اینکه نمونه‌ها طبق فرمول آماده سازی شدند، در مدت زمان ۲ دقیقه به صورت خشک و ۴ دقیقه به صورت تر مخلوط گردیده و سپس در قالب‌های مورد نظر همراه با ویبره ریختگری شدند. نمونه‌ها پس از خشک شدن در دمای  $110^{\circ}\text{C}$  در دماهای  $1400^{\circ}\text{C}$  و  $1600^{\circ}\text{C}$  به مدت ۶ ساعت سینتر شدند. آزمون دانسیته به روش ارشمیدوس انجام شده و تخلخل و استحکام فشاری سرد (CCS) نمونه‌ها مورد بررسی قرار گرفت. همچنین آنالیز پراش پرتو ایکس (XRD) توسط دستگاهی با مدل

اما به طور اساسی تغییر نکرد. به هر حال استفاده از محصولات اسپینلی به سبب هزینه بالای تولید در حال محدود شدن بود، اما پیشرفت علم و تکنولوژی، باعث شد که تقاضاً زیاد شود و بدندهای اسپینل آلومینات منیزیم متراکم با خواص بالا تولید می‌شوند [۲].

با توجه به نیاز روز افزون صنعت فولاد و مس و آلومینیوم به دیرگدازهای با قابلیت کاربرد در شرایط سخت و خطرات زیاد زیست محیطی دیرگدازهای منیزیت-کرومیتی، اخیراً دیرگدازهای اسپینلی با افزودنی کرومیا( $\text{Cr}_2\text{O}_3$ ) جایگزین مناسبی برای دیرگدازهای منیزیت – کرومیتی شده است. در دیرگدازهای منیزیت-کرومیتی به دلیل ضایعات زیست محیطی، این آجرها پس از مصرف به دلیل تبدیل کروم (III) به کروم (VI) قابل چشم پوشی نبود.  $\text{Cr}^{+6}$  موجود در دیرگداز مصرف شده، از قابلیت اتحلال در آب برخوردار است و به سرعت به سیستم آبهای زیرزمینی نفوذ می‌کند. این ماده به شدت سلطان‌زا است و به ایجاد زخم‌های آلرژیک پوستی و بیماری‌های تنفسی منجر می‌گردد. این مسئله محققان را بر آن داشت تا جایگزین کاربردی و مناسبی از نظر سلامت زیست محیطی برای این دیرگداز بیابند و بدین ترتیب جرم دیرگداز اسپینلی با افزودنی کرومیا( $\text{Cr}_2\text{O}_3$ ) در دستور کار قرار گرفت [۳].

در جرم‌های دیرگداز با افزودنی کرومیا، با واکنش  $\text{Cr}_2\text{O}_3$  و  $\text{Al}_2\text{O}_3$  و  $\text{MgO}$ ، اسپینل (in situ) شکل می‌گیرد.<sup>۳</sup> وارد شبکه اسپینل شده و جانشین یونهای  $\text{Al}^{+3}$  شده و همین طور  $\text{Cr}_2\text{O}_3$  با  $\text{Al}_2\text{O}_3$   $\text{Cr}_2\text{O}_3$  تشکیل محلول جامد می‌دهد. به دلیل این که  $\text{Cr}_2\text{O}_3$  به مقدار کم استفاده می‌شود و در سیستم Encapsulation می‌شود، یعنی به طور کامل جذب شده و به صورت آزاد وجود ندارد تا خطرات زیست محیطی داشته باشد [۴].

اخیراً لامپرولو<sup>۴</sup> و همکارانش [۵]، تاثیر افزودنی زیرکون و کرومیت بر میکروساختار و دانسیته بالک دیرگدازهای اسپینلی آلومینات منیزیم – منیزیا را بررسی کردند.

سرکار<sup>۵</sup> و همکارانش نیز [۲]، تاثیر افزودنی‌ها بر دانسیته اسپینل

### ۳-نتایج و بحث:

#### ۱-دانسته و تخلخل ظاهری:

دانسته جرمهای آلمینا - منیزیاتی فوق العاده کم سیمان در حالت خشک در محدوده  $2/97 \text{ gr/cm}^3$  تا  $2/996 \text{ gr/cm}^3$  قرار گرفت. دانسته نمونه ۱۱ CCr<sup>۰-۱۱</sup> با افزایش کرومیا نسبت به نمونه‌های CCr<sup>۱-۱۱</sup> و CCr<sup>۲-۱۱</sup> و CCr<sup>۳-۱۱</sup> به مقدار جزئی افزایش داشت که می‌تواند به دلیل اختلاف دانسته کرومیا (دانسته کرومیا  $5/2 \text{ gr/cm}^3$ ) با مواد دیگر باشد. تخلخل ظاهری جرم آلمینا-منیزیاتی فوق العاده کم سیمان نیز در حالت خشک در محدوده  $14/80$  تا  $15/80$ ٪ قرار گرفت. تخلخل نیز با افزایش مقدار کرومیا روند کاهشی داشت. تغییر در میزان تخلخل ظاهری نیز احتمالاً به دلیل ریزدانه بودن کرومیا و خاصیت پر کنندگی کرومیا است که سبب پر شدن تخلخلها شده است. تغییرات دانسته در نمونه‌های زینتر شده در  $1400^\circ\text{C}$  با افزایش مقدار کرومیا، در محدوده  $3/01 \text{ gr/cm}^3$  تا  $3/03 \text{ gr/cm}^3$  قرار گرفت که افزایش نسبتاً آرامی داشت. تخلخل ظاهری با افزایش کرومیا در محدوده  $16/05$  تا  $15/00$ ٪ قرار گرفت و روند کاهشی داشت. در  $1600^\circ\text{C}$  محدوده دانسته از  $3/02 \text{ gr/cm}^3$  تا  $3/06 \text{ gr/cm}^3$  تغییر کرد و روند افزایشی داشت. با قرار گرفتن یون‌های کروم در مکان‌های آلمینیوم در شبکه اسپینل، جای خالی کاتیونی ایجاد شده و بنابراین نقص در ساختار اسپینل پدید می‌آید. در همین هنگام، افزایش نفوذ کاتیون‌ها سبب تسریع تشکیل اسپینل و افزایش دانسته آن‌ها می‌گردد [۲]. تخلخل نیز از  $15/37$  به  $13/98$ ٪ کاهش یافت. نتایج تغییرات دانسته و تخلخل بر اساس تغییرات دما نیز در شکل‌های (۱) و (۲) آمده است.

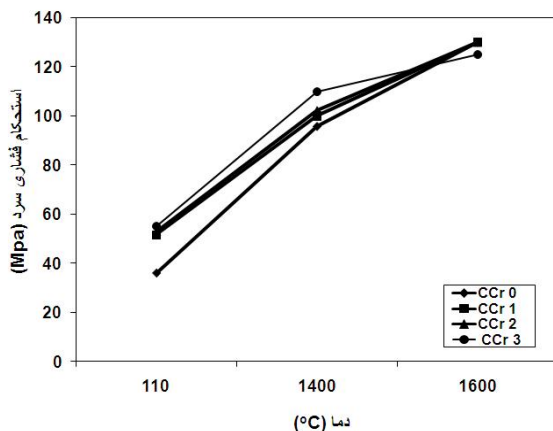
STADI MP و آنالیز ریزساختاری (SEM) توسط دستگاهی با LEO 440I به منظور شناسایی و تشخیص فازها انجام شد. به منظور مطالعه استحکام فشاری سرد (CCS)، نمونه‌هایی با ابعاد  $2/5 \times 2/5 \times 15 \text{ cm}^3$  ساخته شد و در دمای  $1400^\circ\text{C}$  و  $1600^\circ\text{C}$  ظاهری از قطعات شکسته شده در آزمون استحکام فشاری سرد استفاده گردید.

جدول (۱): آنالیز شیمیایی مواد اولیه

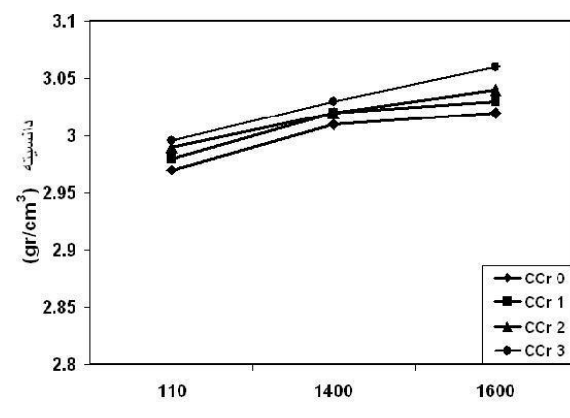
مواد	منیزیا	آلومینا تبولار	آلومینا راکتیو	میکروسیلیس	کرومیا	سیمان
Cr <sub>2</sub> O <sub>3</sub>	-	-	-	-	۹۹/۵	-
TiO <sub>2</sub>	-	-	-	-	۰/۱۵	$>0/4$
Li <sub>2</sub> O	-	$<0/04$	-	-	-	-
C	-	-	-	$0/6-1/5$	-	-
Na <sub>2</sub> O+ K <sub>2</sub> O	-	-	$0/18$	-	-	۰/۵
MgO	۹۷/۳۶	$<0/04$	-	$0/1-0/9$	۰/۰۶	$<0/5$
CaO	۱.۱	-	$0/03$	$2/02$	۰/۰۵	۹/۲
Al <sub>2</sub> O <sub>3</sub>	-	$>99/5$	۹۹/۵	$0/5-1/7$	۰/۱۵	$<72/1$
Fe <sub>2</sub> O <sub>3</sub>	۰/۹۴	$<0/08$	$0/02$	$0/2-0/4$	۰/۰۵	$0/1-0/3$
SiO <sub>2</sub>	۰/۵۹	$<0/08$	$0/04$	۹۵	۰/۰۴	$0/2-0/6$

جدول (۲): مشخصات نمونه‌های کد گذاری شده

کد نمونه	کرومیا (درصد)	دمای خشک و پخت ( $^\circ\text{C}$ )
CCr <sup>۰-۱۱</sup>	۰	۱۱۰
CCr <sup>۱-۱۱</sup>	۱	۱۱۰
CCr <sup>۲-۱۱</sup>	۲	۱۱۰
CCr <sup>۳-۱۱</sup>	۳	۱۱۰
CCr <sup>۰-۱۴</sup>	۰	۱۴۰۰
CCr <sup>۱-۱۴</sup>	۱	۱۴۰۰
CCr <sup>۲-۱۴</sup>	۲	۱۴۰۰
CCr <sup>۳-۱۴</sup>	۳	۱۴۰۰
CCr <sup>۰-۱۶</sup>	۰	۱۶۰۰
CCr <sup>۱-۱۶</sup>	۱	۱۶۰۰
CCr <sup>۲-۱۶</sup>	۲	۱۶۰۰
CCr <sup>۳-۱۶</sup>	۴	۱۶۰۰



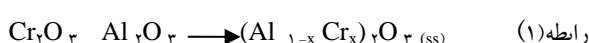
شکل (۳) : نمودار استحکام سرد بر حسب دما.



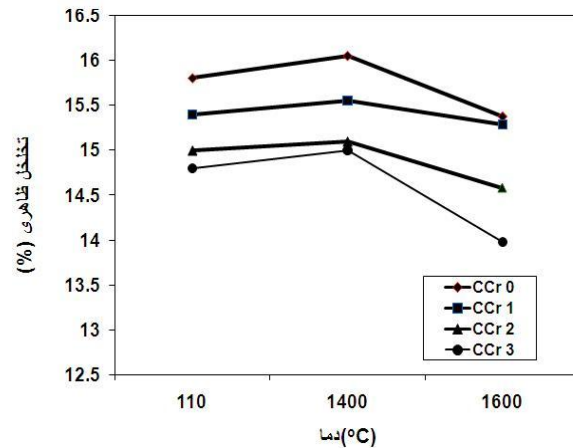
شکل (۱) : نمودار دانسیته بر حسب دما.

**۳-۳- مطالعه پراش اشعه ایکس (XRD) :** الگوی پراش اشعه ایکس نمونه CCr<sub>0</sub>-۱۱ و نمونه های CCr<sub>1</sub>-۱۱، CCr<sub>2</sub>-۱۱، CCr<sub>3</sub>-۱۱ در دمای C<sub>۱۱۰</sub> در شکل (۴) مشاهده می شود. در نمونه CCr<sub>۰</sub>-۱۱ فازهایی مشاهده شد که احتمالاً همان مواد اولیه مصرفی یعنی Al<sub>۲</sub>O<sub>۳</sub> (کوراندوم) CCr<sub>۳</sub>-۱۱، CCr<sub>۲</sub>-۱۱، CCr<sub>۱</sub>-۱۱ و MgO است. در نمونه های نیز فازهای مشاهده شده کرومیا، منزیبا و آلومینا (کوراندوم) است. در این دما، با افزایش کرومیا تغییرات جزئی در دانسیته، کاهش در تخلخل و افزایش در استحکام نمونه ها، به دلیل وجود کرومیا است و حضور کرومیا نیز توسط اشعه ایکس به اثبات رسیده است.

الگوی پراش اشعه X، نمونه CCr<sub>۰</sub>-۱۴ و نمونه های CCr<sub>۱</sub>-۱۴، CCr<sub>۲</sub>-۱۴، CCr<sub>۳</sub>-۱۴ در شکل (۵)، نشان داده شده است. با افزایش مقدار کرومیا پیک های اکسید کروم به شدت ضعیف شده و پیک های اسپینل نسبت به حالت قبل بلندتر شده است، این مسئله حاکی از تشکیل بیشتر اسپینل است. در این مرحله طبق رابطه (۱) کرومیا با آلومینای موجود در ترکیب اولیه به صورت محلول جامد در آمده و آلومینا(ss) تشکیل می گردد.

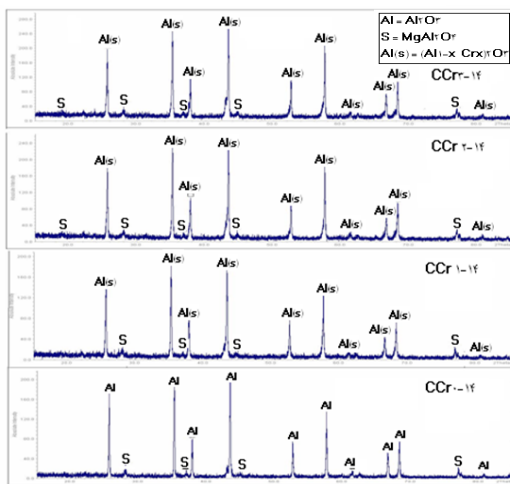


این دو اکسید به دلیل یکسان بودن اندازه، ظرفیت شیمیایی و ساختار کریستالی مشابه، در زیر دمای C<sub>۲۰۴۵</sub> با هر نسبتی با

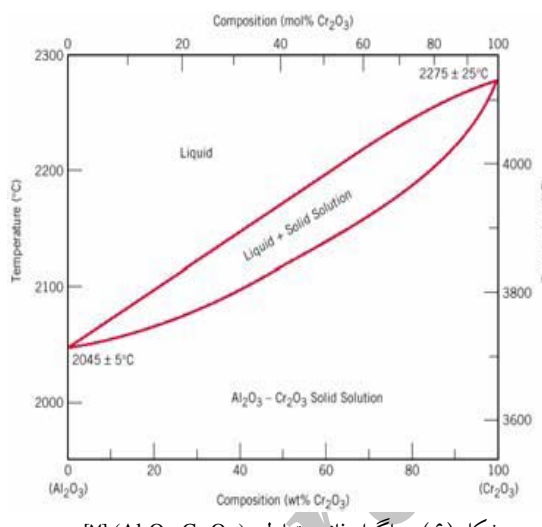


شکل (۲) : نمودار تخلخل ظاهری بر حسب دما.

**۲-۳- استحکام فشاری سرد (CCS) :** نتایج تغییرات استحکام فشاری سرد بر حسب دماهای مختلف و درصد های کرومیا، در شکل (۳) مشاهده می شود. تغییرات استحکام فشاری سرد در دمای C<sub>۱۱۰</sub> از ۳۶/۱ تا ۵۵ (Mpa) بود. در C<sub>۱۱۰</sub> نمونه بدون افزودنی، استحکام فشاری سرد کمتری در مقایسه با نمونه های با افزودنی کرومیا داشت. در نمونه های زیتر شده در C<sub>۱۴۰۰</sub>، استحکام فشاری سرد از ۹۵/۷۶ تا ۱۰۰ (Mpa) تغییر کرد. نمونه های زیتر شده در ۱۶۰۰ درجه سانتیگراد، نیز با توجه به بالا بودن فوق العاده استحکام نمونه ها، با اعمال نیروی ۱۲۵ MPa در آنها شکستی صورت نگرفت و استحکام همه آنها بیشتر از ۱۲۵ مگا پاسکال بود.



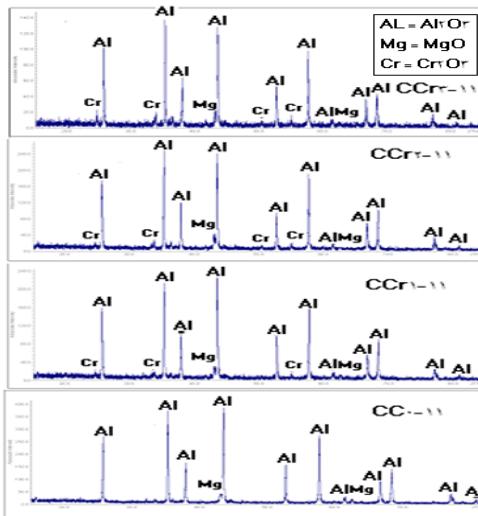
شکل(۵): الگوی پراش اشعه X نمونه CCr1-۱۴ و نمونه‌های CCr3-۱۴، CCr2-۱۴



شکل(۶): دیاگرام فازی تعادلی  $(\text{Al}_2\text{O}_3\text{-}\text{Cr}_2\text{O}_3)$

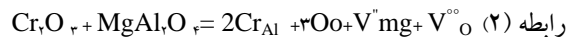
در دمای  $1400^{\circ}\text{C}$  تخلخل‌ها کمی کاهش یافتند. به نظر می‌رسد زینترینگ بر ابیساط اسپینل غلبه کرده و باعث کاهش تخلخل شده است. در این دما با توجه به پراش اشعه ایکس می‌توان گفت، با افزایش  $\text{Cr}_2\text{O}_3$  استحکام سرد افزایش می‌یابد و احتمالاً دلیل آن کاهش تخلخل و به وجود آمدن فاز اسپینل باشد. در دمای  $1600^{\circ}\text{C}$  تخلخل‌ها کاهش یافت که به نظر می‌رسد به دلیل اتمام تشکیل اسپینل است. دلیل دیگر برای کاهش تخلخل می‌تواند ایجاد یوتکتیک در دمای  $1600^{\circ}\text{C}$  و پر شدن تخلخل‌ها در این دما باشد. دلیل افزایش استحکام در این دما را می‌توان کاهش تخلخل و زینتر فاز مایع دانست.

هم مخلوط شده و سری کاملی از محلول‌های جامد را تشکیل می‌دهند. شکل(۶) دیاگرام فازی تعادلی  $(\text{Al}_2\text{O}_3\text{-}\text{Cr}_2\text{O}_3)$  را نشان می‌دهد [۷].

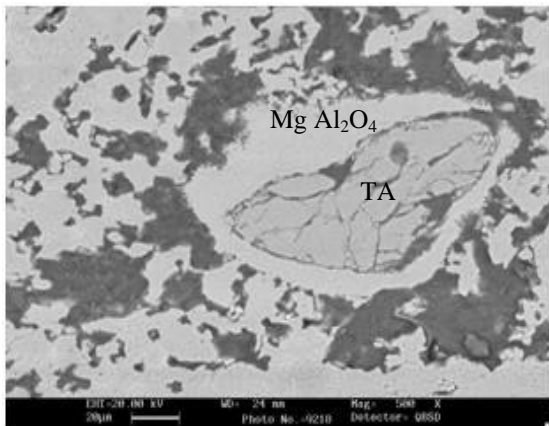


شکل(۴): الگوی پراش اشعه ایکس در نمونه CCr0-11 و نمونه‌های CCr3-11, CCr2-11, CCr1

با توجه به رابطه (۲)، در اثر افزودن  $\text{Cr}_2\text{O}_3$  کروم نیز وارد شبکه اسپینل شده و جانشین بخشی از آلومینیم موجود در اسپینل می‌شود و از طریق ایجاد جاهای خالی کاتیونی باعث افزایش زینتر پذیری اسپینل می‌گردد [۸]. این مسئله از جایی مکان پیک‌های اکسید کروم نسبت به حالت بدون افزودن قابل توضیح است.



در نمونه‌هایی که دمای پخت آنها  $1400^{\circ}\text{C}$  است، دانسیته با افزایش مقدار کرومیا افزایش کمی خواهد داشت. علت این امر آن است که وقتی در این دما اسپینل  $\text{Mg Al}_2\text{O}_4$  تشکیل می‌شود، این واکنش با ابیساط همراه است و باعث منبسط شدن نمونه می‌شود. از طرف دیگر در طی زینتر انقباض رخ می‌دهد و در نتیجه زینتر بر ابیساط اسپینل غلبه کرده و در نتیجه افزایش جزئی در دانسیته وجود خواهد داشت.

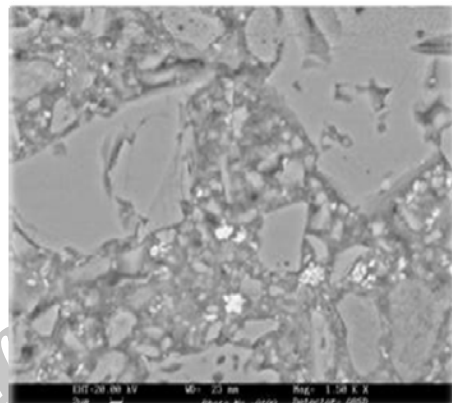


شکل(۸): ریزساختار نمونه CCr۰-۱۴ در بزرگنمایی ۵۰۰

هرچه دانه‌ها ریزتر باشند، به علت کوتاه بودن مسافت نفوذ، اسپینل مخلوط سریع‌تر تشكیل می‌شود. در دانه‌های بزرگ نیز به دلیل طولانی بودن مسافت نفوذ، داخل دانه آلمینیا تبولا رواکنش نکرده و در بیرون اسپینل مخلوط  $Mg(Al,Cr)_2O_4$  است. دانه‌های درشت، آلمینیای تبولا رواکنش نکرده است و دور آن نیز به دلیل نفوذ کرومیا، محلول جامد آلمینیا ( $Al_{1-x}Cr_xO_4$ ) تشکیل شده است. مناطق روشن در دانه‌های ریز،  $Mg(Al,Cr)_2O_4$  و در دانه‌های درشت، محلول جامد آلمینیا ( $Al_{1-x}Cr_xO_4$ ) نامیده شده است. در شکل‌های ریزساختاری، اکسید کروم به دلیل سنگین بودن، روشن تراز بقیه اکسیدها به نظر می‌رسد و در نتیجه راحت‌تر شناسایی می‌شود.

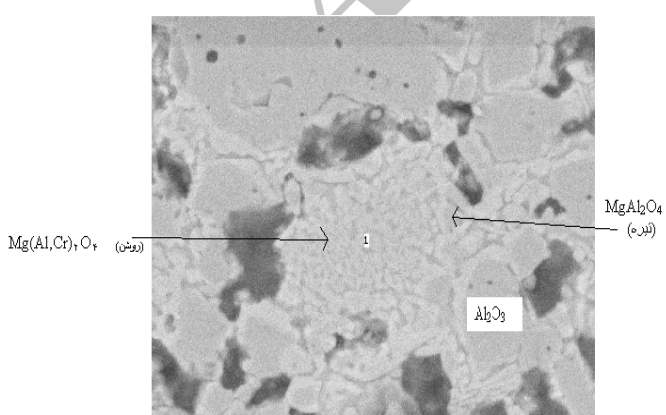
#### ۴-۳- مطالعه ریز ساختاری (SEM) :

در شکل(۷)  $Al_2O_3$  درشت تر و روشن‌تر از  $MgO$  به نظر می‌رسد و فازهای سیمانی نیز سفید رنگ هستند و به صورت پراکنده در ریز ساختار وجود دارند.



شکل(۷): ریزساختار نمونه CCr۱-۱۱ در بزرگنمایی ۱۵۰۰

در شکل (۸)، در نمونه CCr۰-۱۴ فازهای اسپینل و کوراندوم مشاهده می‌شود و در الگوی پراش اشعه ایکس نیز پیک اسپینل مشاهده گردید، به نظر می‌رسد بالاتر از  $1200^{\circ}\text{C}$  منیزیا و آلمینیا در هم نفوذ کرده و اسپینل تشکیل شده است. ریز ساختار این شکل نیز تشکیل اسپینل را نشان می‌دهد و مشاهده می‌شود که این واکنش با انساط همراه است. می‌توان به وضوح نفوذ آلمینیا و منیزیا را در یکدیگر و تشکیل اسپینل درجا را مشاهده کرد. در شکل(۹) ریزساختار نمونه با ۳٪ کرومیا در دمای ۱۴۰۰ درجه سانتی گراد نشان داده شده است. در این تصویر دانه‌های ریز مشاهده می‌شود. در درون این دانه‌ها که تیره رنگ می‌باشند فاز اسپینل  $MgAl_2O_4$  تشکیل شده است دلیل این مسئله آن است که منیزیا در آلمینیا نفوذ کرده است. رینگ اطراف این دانه‌ها که روشن به نظر می‌رسد، اسپینل  $Mg(Al,Cr)_2O_4$  به وجود آمده است که حاکی از نفوذ کرومیا است.



شکل (۹): ریزساختار نمونه CCr۰-۱۴ در بزرگنمایی ۱۵۰۰

- [7] z. Wen-Cheng, T. Shenga, W. Xiao- Xuana, "Local compressibilities around the substitutional impurities Cr<sup>3+</sup> and Fe<sup>3+</sup> in MgO crystals", *Physica B*, vol. 348, pp.42-45, 2004
- [8] A. M.. Alper, " Phase Diagram in advance Ceramic ", Elsevier science and technology books , 1994.

## ۷- پی نوشت

۱- Ultra low cement castable

۲- Lampropoulou

۳- Sarkar

۴- Tang Shenga

## ۴- نتیجه گیری:

۱- افزایش نسبتا آرام دانسته در دمای ۱۴۰۰°C با افزودنی کرومیا در مقایسه با بدون افزودنی به این دلیل است که تشکیل اسپینل  $\text{MgAl}_2\text{O}_4$ ، با انبساط همراه بوده و باعث منبسط شدن نمونه شده است. در مقابل نیز انقباض ناشی از زیتر رخ می نماید و زیتر بر انبساط اسپینل غلبه نموده است و بنابراین دانسته افزایش پیدا کرد.

۲- افزودنی  $\text{Cr}_2\text{O}_3$  به مواد اولیه سبب تشکیل  $\text{Al}_2\text{O}_3(\text{ss})$  شده و همین طور  $\text{Cr}^{+3}$  وارد شبکه اسپینل AM شده و جانشین یون های  $\text{Al}^{+3}$  می گردد. با قرار گرفتن یون های کروم در مکان های آلومینیوم، افزایش نفوذ کاتیون ها سبب تسریع تشکیل اسپینل و درنتیجه با افزایش دانسته و از طریق پیوند مستقیم آنها سبب افزایش استحکام شده است.

۳- با افزایش دما و مقدار کرومیا، مقدار جزئی افزایش در دانسته بدن و کاهش تخلخل ظاهری مشاهده گردید.

## ۶- مراجع:

- [1] غفاری و ح. سرپولکی " بررسی و مقایسه تشکیل اسپینل آلومینیا ، منیزیا و کرومیا با سیستم اسپینل کرومیا" ، پایان نامه کارشناسی، داشگاه علم و صنعت ایران ، دانشکده مواد و متالورژی، ۱۳۸۳
- [2] L. A. Diaz, R. Torricelli's, A. H. De Aza, P. Pena, S. DAza, " Alumina -rich refractory concretes with added spinel , periclase and dolomite : A comparative study of their microstructural evolution with temperature " , JE.C.S, PP.1499-1506, 2005.
- [3] R. Sarkar, S. K. Das, G. Banerjee, "Effect of additives on the densification of reaction sintered an presynthesised spinels" , Ceramics International, vol. 29, pp.55-59 , 2003.
- [4] C. Aksel, P. Warren, F. Riley, "Fracture behaviour of magnesia and magnesia and magnesia -spinel composites before and after thermal shock" , J. E. C. S PP. 240-241, 2004.
- [5] R. Sarkar, S. Kumar Das, G. Banerjee, "Effect of addition of Cr<sub>2</sub>O<sub>3</sub> on the properties of reaction sintered MgO-Al<sub>2</sub>O<sub>3</sub> spinels" , Journal of the European Ceramic Society, vol 22, PP.1243-1250,2002
- [6] P. G. Lampropoulou, C. G. Katagas," Effects of zirconium silicate and chromite addition on the microstructure and bulk density of magnesia magnesium aluminate spinel-based refractory materials" Ceramics International, vol. 34, PP.1247-1252, 2008.